

## اثرات LHRH-A<sub>2</sub> ۱۷ بتا استرادیول و عصاره‌ی سرشاخه هوایی مرزنجوش بر القاء باروری در ماهی گورامی سه خال (*Trichogaster trichopterus*)

<sup>1\*</sup> ظاهره ناجی<sup>1\*</sup>، صدیقه باقری زیاری<sup>1</sup>، همایون حسین‌زاده صحافی<sup>2</sup>

۱- گروه علوم پایه، دانشکده داروسازی، واحد علوم دارویی، دانشگاه آزاد اسلامی، تهران، ایران، صندوق پستی: ۱۹۴۱۹۳۳۱۱۱

۲- موسسه تحقیقات علوم شیلاتی کشور، سازمان تحقیقات، آموزش و ترویج کشاورزی، تهران، ایران، صندوق پستی: ۱۴۱۵۵۶۱۱۶

تاریخ پذیرش: ۲۸ مرداد ۱۳۹۴

تاریخ دریافت: ۲۴ فروردین ۱۳۹۴

### چکیده

مرزنجوش (*Origanum vulgare*) گیاهی از خانواده نعنایان می‌باشد که در طب سنتی به عنوان کاهنده مشکلات قاعدگی مورد استفاده بوده است. مطالعه حاضر به مقایسه اثرات LHRH-A<sub>2</sub> ۱۷ بتا استرادیول و عصاره‌ی هیدرولکلی سرشاخه هوایی مرزنجوش بر بافت تخمدان ماهی گورامی سه خال نبالغ پرداخته است. بدین منظور ۱۵۰ قطعه ماهی گورامی سه خال با میانگین وزنی  $2/1 \pm 1$  گرم مورد ارزیابی قرار گرفت. ۱۰ ماهی در هر گروه از ۱۲ گروه تجربی شامل ۴ دوز از مرزنجوش یا ۱۷ بتا استرادیول (۱۰، ۲۰، ۳۰ و ۵۰ میلی‌گرم بازی هر کیلو‌گرم وزن بدن ماهی) و ۴ دوز LHRH-A<sub>2</sub> (۰/۰۰۲، ۰/۰۰۳، ۰/۰۰۴ و ۰/۰۰۵) براحتی تزریقات به صورت عضلانی، یک‌روز در میان و در ۷ تکرار صورت پذیرفت. شامل نرمال سالین، دارونما و اتانول مورد ازمایش قرار گرفتند. تزریقات به صورت عضلانی، یک‌روز در میان و در ۷ تکرار صورت پذیرفت. ساختار بافت‌شناسی تخمدان و میانگین درصد شاخص گنادی در سه نوع تیمار، اندازه‌گیری و با کنترل مقایسه شد. نتایج آماری میانگین شاخص گنادها، در سه تیمار کنترل با گروه‌های تجربی اختلاف معناداری نشان داد ( $P \geq 0/05$ ). بررسی‌ها در ۱۲ گروه تجربی نشان داد که در دوز ۵۰ میلی‌گرم بر کیلو‌گرم، عصاره‌ی مرزنجوش بعد از ۱۷ بتا استرادیول سبب تسريع در رسیدگی اووسیت‌ها می‌گردد. نتایج بافتی و قطر اووسیت‌ها نیز تاییدی بر شاخص گنادوسوماتیک بود. یافته‌های این تحقیق نشان داد که عصاره‌ی مرزنجوش به صورت وابسته به دوز بلوغ اووسیت‌ها در ماهی گورامی سه خال را تحت تأثیر قرار می‌دهد.

**کلمات کلیدی:** ماهی گورامی سه خال (LHRH-A<sub>2</sub>، *Trichogaster trichopterus*، مرزنجوش)، استرادیول، باروری.

بیوچانین، کوئرستین و لو تئولین می‌باشد. این گیاه در طب سنتی ایران و پرو به عنوان کاهش‌دهنده درد دوران قاعدگی استفاده می‌شود (Bussmann *et al.*, 2010). مطالعات نشان داد که حضور گیاه مرزنجوش در رژیم غذایی گاو، سبب افزایش شیر شده است (Tekippe *et al.*, 2011). هم‌چنین عصاره‌ی این گیاه می‌تواند سرعت روند رشد جنین موش را افزایش دهد (Benavides *et al.*, 2000). از آنجا که تاکنون مطالعه‌ای بر روی اثر این گیاه در باروری ماهی گورامی سه خال صورت نگرفته است، لذا در این تحقیق، به مقایسه اثرات استروژنیک بین عصاره‌ی هیدرووالکلی سرشاخه هوایی گیاه مرزنجوش، A<sub>2</sub> و LHRH-A<sub>2</sub> و استرادیول بر هورمون‌های محور هیپوفیز - هیپوتالاموس - گناد در القا باروری پرداخته شد.

## مواد و روش‌ها

این تحقیق در شهریور 1392 به مدت یک ماه در آزمایشگاه گروه علوم پایه، دانشکده داروسازی، دانشگاه آزاد اسلامی واحد علوم دارویی صورت گرفت. بدین منظور 150 قطعه ماهی گورامی سه خال نابالغ با میانگین وزنی  $2/1 \pm 2$  گرم و میانگین طولی  $5/1 \pm 1$  سانتی‌متر از شرکت ماهیران تهیه گردید. فاکتورهای فیزیکوشیمیایی آب، شامل دما  $23 \pm 1$  درجه سانتی‌گراد، pH  $7/2 \pm 2$  و درجه سختی  $73 \pm 2$  (میلی-گرم/لیتر کربنات کلسیم کربنات) تنظیم گردید. پس از کلرزدایی آب آکواریوم‌ها، ماهیان در 15 گروه مجزا، هر گروه شامل 10 عدد ماهی، در آکواریوم‌ها رها سازی شدند. تزریقات به صورت درون عضلانی و طبق جدول (1)، به ازای هر کیلو گرم وزن بدن ماهی صورت گرفت (Ng *et al.*, 1997).

## مقدمه

در تمام مهره‌داران از جمله ماهی‌ها محور هیپوفیز - هیپوتالاموس - گناد نقش مهمی را در تولید مثل ایفاء می‌کند و با تاثیر بر سطوح مختلف این محور، می‌توان تحملک گذاری را تحت تاثیر قرار داد (Okubo *et al.*, 2008). ماهی گورامی سه خال از خانواده Anabantidae بوده که به علت شباهت بالای محور هیپوفیز - هیپوتالاموس - گناد به انسان، به عنوان یک مدل ایده‌آل در مطالعات تولید مثلی به کار می‌رود (Degani *et al.*, 1995). بلوغ اووسیت در ماهیان شامل 6 مرحله اولو گونی، اووسیت اولیه با هسته کروماتینی، پیش‌هستکی اولیه، کورتیکال آلوئولار، ویتلوزن و اووسیت بالغ می‌باشد. عوامل متعددی می‌توانند بر روند بلوغ اووسیت در ماهیان اثر گذار باشند. در مطالعاتی که به منظور بررسی رشد اووسیت‌های ماهی گورامی سه خال انجام گرفت، نشان داده شد که روند بلوغ اووسیت‌ها تحت تاثیر 17 بتا استرادیول و LHRH-A<sub>2</sub> متفاوت می‌باشد (Anathy *et al.*, 2003).

فیتواستروژن‌ها، زینواستروژن‌های مشتق شده از گیاهان بوده که دارای ساختاری مشابه با 17 بتا استرادیول (هورمون اولیه‌ی جنسی) می‌باشند و می‌توانند نقش این هورمون را به طور ضعیف‌تری ایفاء کنند (Yildiz, 2005).

درصد حضور فیتواستروژن‌ها در گیاهان مختلف متفاوت است. امروزه تحقیقات بر روی اثر فیتواستروژن‌ها در گیاهان و مقایسه اثرات آن‌ها با استروژن در باروری حیوانات روز به روز در حال افزایش است (Mindy *et al.*, 1997). گیاه مرزنجوش (Origanum vulgare) از جمله گیاهان خانواده‌ی نعناء، حاوی 4 فیتواستروژن به نام‌های آپی ژنین،

جدول 1: تیمارهای مورد بررسی و دوزهای تزریقی به هر تیمار در ماهی گورامی سه خال

گروه تیماری	ماده تزریقی	دوز تزریقی
1	مرزنجوش	10mg/kg
2	مرزنجوش	20mg/kg
3	مرزنجوش	30mg/kg
4	مرزنجوش	50mg/kg
5	LHRH-A <sub>2</sub>	0/001 mg/kg
6	LHRH-A <sub>2</sub>	0/002 mg/kg
7	LHRH-A <sub>2</sub>	0/003 mg/kg
8	LHRH -A <sub>2</sub>	0/005mg/kg
9	17 بتا استرادیول	10mg/kg
10	17 بتا استرادیول	20mg/kg
11	17 بتا استرادیول	30mg/kg
12	17 بتا استرادیول	50mg/kg
13	کنترل 1 (دست‌نخورده)	0/02 سی سی
14	کنترل 2 (نرمال سالین)	0/02 سی سی
15	کنترل 3 (اتانولی)	0/02 سی سی

سرشاخه هوایی گیاه، عصاره‌ی گیری با استفاده از روش پرکولاسیون با حلحل اتانول 96 درجه (Ahmed *et al.*, 2002) صورت گرفت. تزریقات با سرنگ BD نیم میکرولیتر (شرکت Pic) به مقدار 0/02 سی سی، یک روز در میان و با 7 تکرار انجام شد (Ng *et al.*, 1997). بعد از پایان روز بیست و هفتم، نمونه‌ها با تعداد 10 قطعه در هر تیمار، با استفاده از عصاره‌ی گل میخ کبیه‌وش و با استفاده از ترازوی دیجیتال (با دقیقه 0/01 گرم) و خط کش بیومتری (طول استاندارد) مورد بررسی قرار گرفتند. سپس جهت بررسی مطالعات بافت‌شناسی، نمونه‌ها کشته شده و بافت تحملان آن‌ها خارج شد. پس از توزیں تحملان‌ها، تعدادی تحملان

LHRH-A<sub>2</sub> (Ningbo Sansheng) در محلول نمکی (0.7% NaCl) (Ahmadnezhad *et al.*, 2013) بتا استرادیول (شرکت ابو ریحان) در اتانول 96 درجه (Nakari, 2003) به نسبت 1 به 1 حل شده و پس از رقت‌سازی مطابق جدول (1) به ماهیان تزریق شدند. جهت آماده‌سازی عصاره‌ی مرزنجوش، سرشاخه هوایی گیاه خشک از مزارع کشت گیاه از گرگان در تیر 1392 جمع‌آوری شد. این گیاه توسط متخصصان مورد شناسایی قرار گرفته و با کد هرباریومی 1162AUPF در کتابخانه هرباریومی دانشگاه آزاد اسلامی واحد علوم دارویی موجود می‌باشد. پس از خشک شدن

## نتایج

### شاخص گنادوسوماتیک

نتایج شاخص گنادوسوماتیک 15 تیمار در جدول (2) آورده شده است. نتایج نشان داد که بین گروههای کنترل 1 (دست نخورده)، 2 (نرمال سالین) و 3 (اتانولی) اختلاف معناداری از لحاظ GSI وجود نداشت ( $P \geq 0/05$ ). در صورتی که بین تیمارهای 17 بتا استرادیول، LHRH-A<sub>2</sub> و مرزنجوش اختلاف معناداری وجود داشت ( $P \leq 0/05$ ). در نتایج حاصل از مقایسه تیمارهای مرزنجوش و 17 بتا استرادیول (دوزهای 10 و 20 و 30 میلی گرم بر کیلو گرم) با LHRH-A<sub>2</sub> (در دوزهای 0/001، 0/002 و 0/003 میلی گرم بر کیلو گرم) نشان داده شد که بین تیمارهای مرزنجوش و LHRH-A<sub>2</sub> از نظر GSI اختلاف معناداری وجود نداشت ( $P \geq 0/05$ ). اما بین تیمارهای 17 بتا استرادیول با مرزنجوش در هر سه دوز اختلاف معناداری وجود داشت ( $P \leq 0/05$ ). هم چنین در نتایج GSI در حداکثر دوز سه تیمار اختلاف معناداری وجود داشت، به گونه‌ای که روند یلوغ اوووسیت‌ها در 17 بتا استرادیول بیشتر از مرزنجوش بوده و مرزنجوش از LHRH-A<sub>2</sub> بیشتر بود.

از هر تیمار در فرمالين 10 درصد ثبیت شده و پس از انجام مراحل پاساژ بافت، برش گیری با میکروتوم (ضخامت 10-5 میکرومتر) و رنگ آمیزی به روش هماتوکسین - ائوزین، در زیر میکروسکوپ نوری نیکون (مدل Eclipse E100) با بزرگنمایی 100 مورد مطالعه قرار گرفتند.

شاخص گنادی (GSI) براساس فرمول زیر برای ماهیان هر تیمار محاسبه گردید (Htun-Han, 1979).

$$GSI = \frac{WG}{W} \times 100$$

(گرم) و W وزن بدن ماهی (گرم) است.

جهت اندازه گیری قطر تخمک‌ها در هر تیمار از نرم افزار AxioVision Rel استفاده شد. در هر مرحله از بلوغ 20 فولیکول بزرگ و کوچک ماهی مورد بررسی قرار گرفت. سپس به منظور تجزیه و تحلیل داده‌های حاصل از شاخص گنادی، قطر اوووسیت‌ها و بررسی معنی‌دار بودن اختلاف مشاهده شده در تیمارهای مختلف از نرم افزار SPSS، روش آماری آزمون واریانس یک طرفه و آزمون مقایسه میانگین دانکن استفاده شد.

جدول 2: میانگین رشد شاخص گنادی ماهی گورامی سه خال در تیمارهای مختلف

شماره	نام تیمار	شاخص گنادی %	میانگین شاخص گنادی %
1	مرزنجوش با دوز 10mg/kg	10mg/kg	1/10 <sup>B</sup>
2	مرزنجوش با دوز 20mg/kg	20mg/kg	1/39 <sup>B</sup>
3	مرزنجوش با دوز 30mg/kg	30mg/kg	1/46 <sup>B</sup>
4	مرزنجوش با دوز 50mg/kg	50mg/kg	3/48 <sup>a</sup>
5	0.001mg/kg با دوز LHRH-A <sub>2</sub>	0.001mg/kg	0/90 <sup>B</sup>
6	0.002mg/kg با دوز LHRH-A <sub>2</sub>	0.002mg/kg	1/23 <sup>B</sup>
7	0.003mg/kg با دوز LHRH-A <sub>2</sub>	0.003mg/kg	1/38 <sup>B</sup>
8	0.005mg/kg با دوز LHRH-A <sub>2</sub>	0.005mg/kg	2/58 <sup>a</sup>
9	10mg/kg با دوز 1 بتا استرادیول	10mg/kg	1/21 <sup>B</sup>

شماره	نام تیمار	میانگین شاخص گنادی %
10	17 بتا استراديول با دوز 20mg/kg	2/38 <sup>B</sup>
11	17 بتا استراديول با دوز 30mg/kg	2/91 <sup>B</sup>
12	17 بتا استراديول با دوز 50mg/kg	4/52 <sup>a</sup>
13	کنترل 1 (دست‌نخورده)	0/87 <sup>A</sup>
14	کنترل 2 (نرمال سالین)	0/97 <sup>A</sup>
15	کنترل 3 (اتانولی)	0/82 <sup>A</sup>

حروف کوچک اختلاف معنی دار ( $P < 0.05$ ) را در بین گروه‌های تحت تیمار و شاهد نشان می‌دهد.

LHRH-A<sub>2</sub> در دوز 0/003 میلی‌گرم بر کیلوگرم اختلاف معناداری وجود ندارد، در حالی که بین تیمار مرزنجوش و 17 بتا استراديول در دوز 30 میلی‌گرم بر کیلوگرم اختلاف معناداری وجود دارد. علاوه بر این، آنالیز آماری میانگین قطر تخمک‌ها در تیمارهای مرزنجوش، 17 بتا استراديول و LHRH-A<sub>2</sub> در حداکثر دوز اختلاف معناداری را نشان می‌دهد. کمترین میانگین قطر تخمک مربوط به مرحله‌ی اووگونی در تیمارهای کنترل و بیشترین آن مربوط به مرحله‌ی تکوین جنسی در دوز 50 میلی‌گرم بر کیلوگرم تیمار 17 بتا استراديول است.

### قطر تخمک

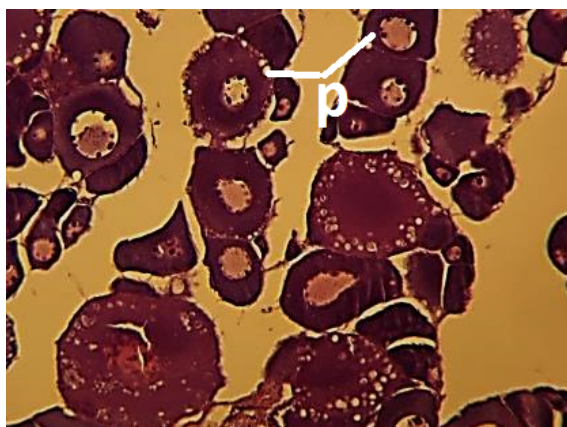
سایز تحمدان در مراحل مختلف جنسی تغییر می‌کند. به منظور بررسی روند بلوغ در اووسیت‌ها، قطر تخمک در تیمارهای مختلف با یک‌دیگر در شکل (2) مقایسه شده است. آنالیز آماری میانگین قطر تخمک‌ها در کنترل‌های 1، 2 و 3 در مرحله‌ی اووگونی اختلاف معناداری نشان نمی‌دهد. میانگین قطر تخمک‌ها بین تیمارهای مرزنجوش و 17 بتا استراديول (در دوزهای 10 و 20 میلی‌گرم بر کیلوگرم) با تیمارهای LHRH-A<sub>2</sub> (در دوزهای 0/001 و 0/002 میلی‌گرم بر کیلوگرم) اختلاف معناداری نشان نمی‌دهد. هم‌چنین بین تیمار مرزنجوش در دوز 30 میلی‌گرم بر کیلوگرم با تیمار

جدول 3: میانگین قطر تخمک در ماهی گoramی سه خال بعد از تزریق

شماره	نام تیمار	میانگین قطر تخمک بعد از تزریق (μm)
1	مرزنجوش با دوز 10mg/kg	44/37 <sup>B</sup>
2	مرزنجوش با دوز 20mg/kg	67/50 <sup>B</sup>
3	مرزنجوش با دوز 30mg/kg	104/97 <sup>B</sup>
4	مرزنجوش با دوز 50mg/kg	200/23 <sup>a</sup>
5	0.001mg/kg با دوز LHRH-A <sub>2</sub>	48/74 <sup>B</sup>
6	0.002mg/kg با دوز LHRH-A <sub>2</sub>	56/31 <sup>B</sup>
7	0.003mg/kg با دوز LHRH-A <sub>2</sub>	95/81 <sup>B</sup>
8	0.005mg/kg با دوز LHRH-A <sub>2</sub>	166/15 <sup>a</sup>
9	17 بتا استراديول با دوز 10mg/kg	65/32 <sup>B</sup>

شماره	نام تیمار	میانگین قطر تخمک بعد از تزریق (μm)
10	17 بتا استرادیول با دوز 20mg/kg	89/6 <sup>B</sup>
11	17 بتا استرادیول با دوز 30mg/kg	175/25 <sup>B</sup>
12	17 بتا استرادیول با دوز 50mg/kg	268/86 <sup>a</sup>
13	کنترل 1 (دست نخورده)	38/52 <sup>A</sup>
14	کنترل 2 (نرمال سالین)	38/46 <sup>A</sup>
15	کنترل 3 (اتانولی)	38/14 <sup>A</sup>

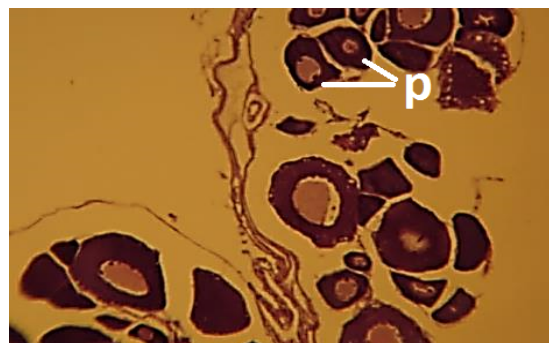
حروف کوچک اختلاف معنی دار ( $P < 0.05$ ) را در بین گروه های تحت تیمار و شاهد نشان می دهد.



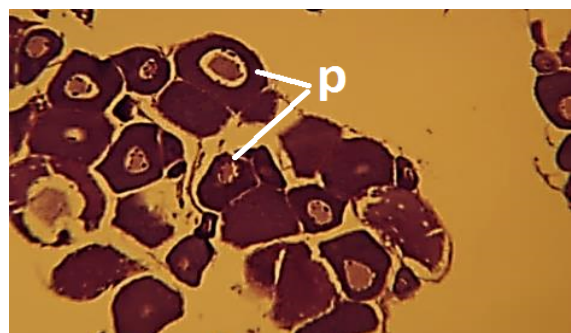
شکل 3: مقطعی از بافت تخدمان ماهیان گروه اتانولی، فاز غالب اووسیت ها شامل مرحله پیش هستکی اولیه (P)، (H&E)، بزرگنمایی  $\times 100$ .

در مقاطع تخدمانی مرزنجوش (دوز 10 میلی گرم بر کیلو گرم) (شکل 4) و LHRH-A<sub>2</sub> (دوز 0/001 میلی گرم بر کیلو گرم) (شکل 5) اغلب اووسیت ها در مرحله پیش هستکی و تعداد کمی در مرحله کورتیکو آلوئولار قرار داشتند، اما در تیمار 17 با استرادیول (دوز 10 میلی گرم بر کیلو گرم) (شکل 6) تعداد اووسیت ها در مرحله کورتیکو آلوئولار تقریباً برابر با تعداد اووسیت ها در مرحله پیش هستکی اولیه است.

**بافت شناسی تخدمان با میکروسکوپ نوری**  
نتایج حاصل از این مطالعه نشان می دهد که هر سه تیمار کنترل، اغلب اووسیت ها نابالغ بوده و در مرحله پیش هستکی اولیه قرار دارند (شکل های 1، 2 و 3).



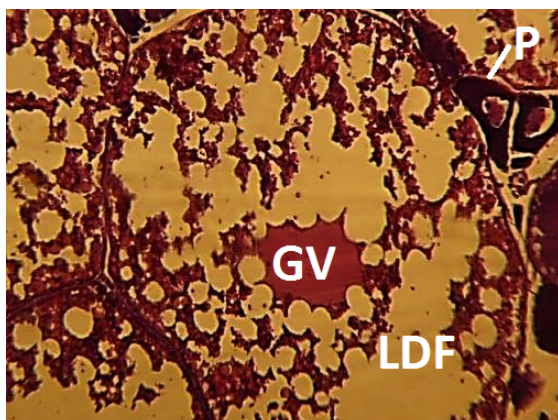
شکل 1: مقطعی از بافت تخدمان ماهی کنترل دست نخورده، فاز غالب اووسیت ها شامل مرحله پیش هستکی اولیه (P)، (H&E)، بزرگنمایی  $\times 100$ .



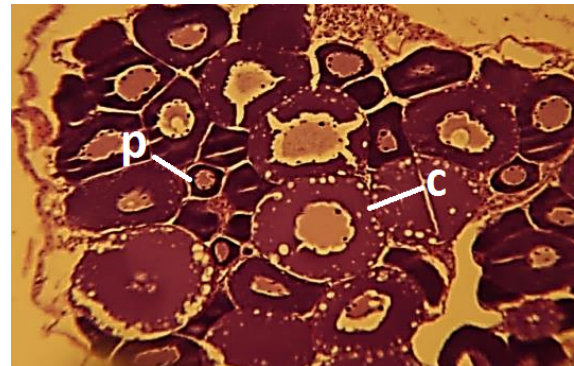
شکل 2: مقطعی از بافت تخدمان ماهی گروه نرمال سالین، فاز غالب اووسیت ها شامل مرحله پیش هستکی اولیه (P)، (H&E)، بزرگنمایی  $\times 100$ .

هستکی اولیه (P)، حضور اووسیت‌هایی در مرحله کورتیکال (c)،  
× 100، بزرگنمایی (H&E)

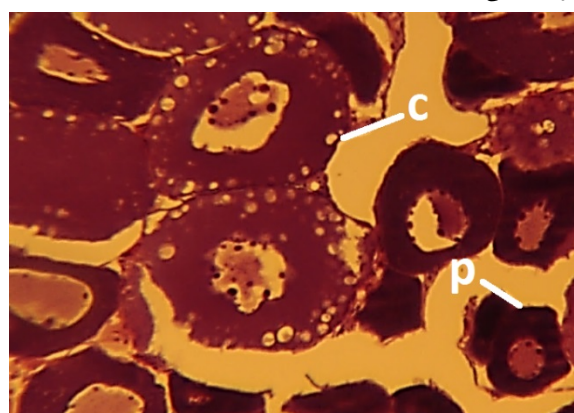
در تیمار مرزنجوش در دوز 30 میلی‌گرم، حرکت وزیکول زایا به سمت قطب جانوری و اتصال ذرات چربی به یکدیگر و گاهی حضور اووسیت‌هایی در مرحله‌ی پیش‌هستکی اولیه به چشم می‌خورد (شکل 7) اما در دوز 0/003 میلی‌گرم بر کیلو‌گرم تیمار LHRH-A<sub>2</sub> همه اووسیت‌ها در مرحله پایانی کورتیکوآلتوئولار به سر می‌برند (شکل 8). در تیمار 17 بتا استرادیول با دوز 30 میلی‌گرم بر کیلو‌گرم شروع حرکت وزیکول زایا به سمت قطب جانوری و اتصال ذرات چربی به یکدیگر نشان داده شده است (شکل 9).



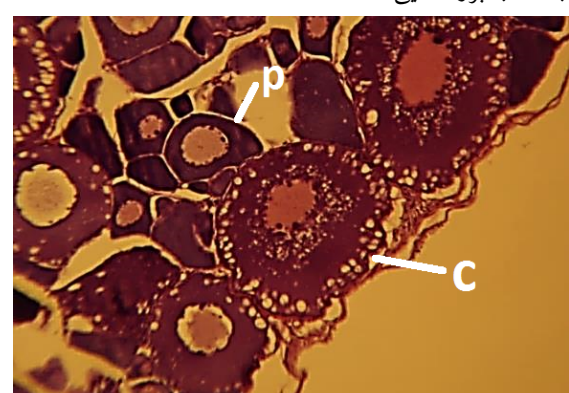
شکل 7: مقطعی از بافت تخدمان ماهی مرزنجوش با دوز 30 میلی‌گرم بر کیلو‌گرم، شروع حرکت وزیکول زایا (GV) به سمت قطب جانوری، اتصال ذرات چربی به یکدیگر (LDF)، حضور اووسیت‌هایی در مرحله پیش‌هستکی اولیه (P)، (H&E)، بزرگنمایی × 100



شکل 4: مقطعی از بافت تخدمان ماهی گورامی سه خال. مقطعی از بافت تخدمان ماهی مرزنجوش با دوز 10 میلی‌گرم بر کیلو‌گرم، فاز غالب اووسیت‌ها شامل مرحله پیش‌هستکی اولیه (P)، حضور اووسیت‌هایی در مرحله کورتیکال (c)، (H&E)، بزرگنمایی × 100

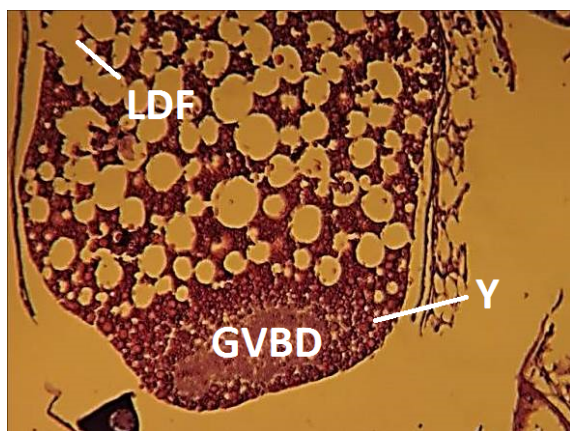


شکل 5: مقطعی از بافت تخدمان ماهی LHRH-A<sub>2</sub> با دوز 0/001 میلی‌گرم بر کیلو‌گرم، فاز غالب اووسیت‌ها شامل مرحله پیش‌هستکی اولیه (P)، حضور اووسیت‌هایی در مرحله کورتیکال (c)، (H&E)، بزرگنمایی × 100

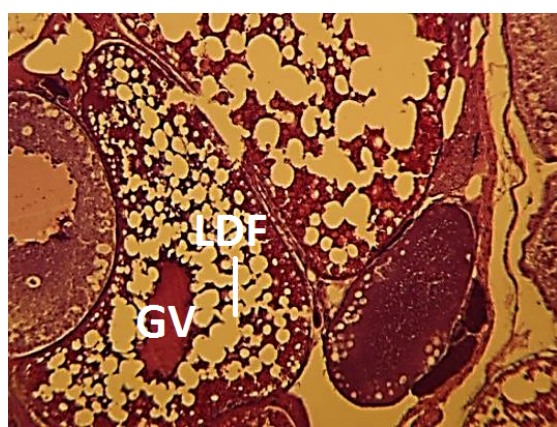


شکل 6: مقطعی از بافت تخدمان ماهی 17 بتا استرادیول با دوز 10 میلی‌گرم بر کیلو‌گرم، فاز غالب اووسیت‌ها شامل مرحله پیش-

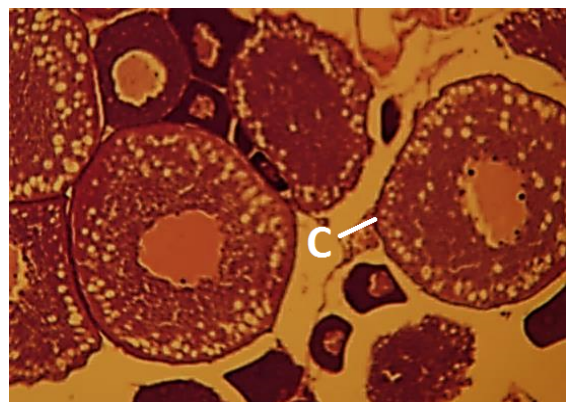
نرسیده (شکل 11) و در تیمار LHRH-A<sub>2</sub> حرکت وزیکول زایا به سمت قطب جانوری و اتصال ذرات چربی به یکدیگر به چشم می خورد (شکل 12).



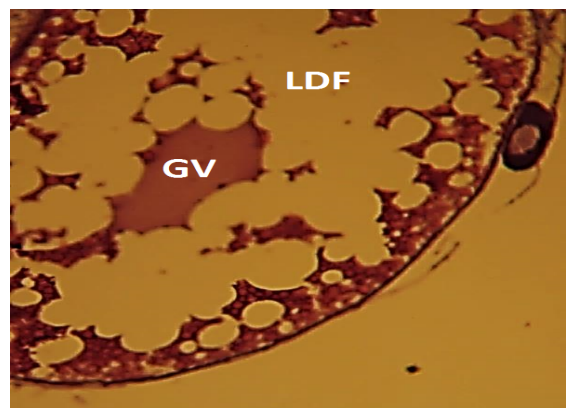
شکل 10: مقطعی از بافت تخدمان ماهی 17 بتا استرادیول با دوز 50 میلی گرم بر کیلو گرم، حرکت وزیکول زایا (GVBD) به سمت قطب جانوری، اتصال ذرات چربی به یکدیگر (LDF)، ذرات زرد (Y)، بزرگنمایی 100 × (H&E)



شکل 11: مقطعی از بافت تخدمان ماهی گورامی سه خال. مقطعی از بافت تخدمان ماهی مرزنجوش با دوز 50 میلی گرم بر کیلو گرم، اتمام حرکت وزیکول زایا به سمت قطب جانوری، (H&E) بزرگنمایی 100 ×



شکل 8: مقطعی از بافت تخدمان ماهی LHRH-A<sub>2</sub> با دوز 0/003 میلی گرم بر کیلو گرم، حضور غالب اووسیت های در مرحله کورتیکال (c)، (H&E) بزرگنمایی 100 ×



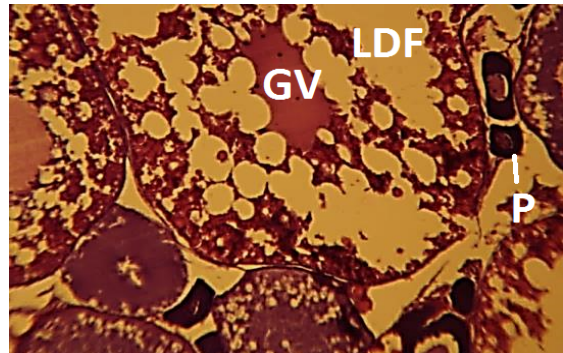
شکل 9: مقطعی از بافت تخدمان ماهی 17 بتا استرادیول با دوز 30 میلی گرم بر کیلو گرم، شروع حرکت وزیکول زایا (GV) به سمت قطب جانوری، اتصال ذرات چربی به یکدیگر (LDF)، (H&E) بزرگنمایی 100 ×

مقایسه مقاطع بافتی تخدمان مرزنجوش، 17 بتا استرادیول (دوز 50 میلی گرم بر کیلو گرم) و LHRH-A<sub>2</sub> (دوز 0/005 میلی گرم بر کیلو گرم) نشان می دهد که اووسیت در تیمار 17 بتا استرادیول به حداقل رشد خود رسیده و هسته های سلول کاملا به طرف سیتوپلاسم مهاجرت کرده است و شکست وزیکول ژرمنال (GVBD) ظاهر شده است (شکل 10)، در حالی که در تیمار مرزنجوش مهاجرت هسته به دیواره سلولی

را در بلوغ اووسیت‌ها در ماهی گورامی سه خال بازی می‌کند (Degani *et al.*, 2004). در مقایسه‌ی نتایج بین مرزنجوش و LHRH-A<sub>2</sub> در حداکثر دوز مشخص شد که مرزنجوش تاثیر قابل توجهی در رشد و بلوغ اووسیت‌ها داشته است ( $P \leq 0/05$ ). در مطالعاتی که بر روی ماهی قزل آلای رنگین کمان (Van Der Kraak *et al.*, 1984) و ماهی گورامی سه خال (Degani *et al.*, 1995) انجام گرفت، نشان داده شد که LHRH-A<sub>2</sub> می‌تواند با تاثیر بر سلول‌های گنادوتروف در هیپوفیز، بلوغ اووسیت‌ها را تحت تاثیر قرار دهد. در طی بلوغ تخمک، قطر اووسیت‌های هر مرحله نسبت به مرحله‌ی قبل افزایش می‌یابد (Anathy *et al.*, 2003). اووسیت‌های بالغ تحت درمان با 17 بنا استراديول دارای قطر 268/86 میکرومتر و اووسیت‌های تحت درمان با LHRH-A<sub>2</sub> که در مرحله‌ی ویتیلوژنز به سر می‌برند، دارای قطر 166/15 میکرومتر بودند. این در حالی است که اووسیت‌های تحت درمان با مرزنجوش، در مرحله‌ی بین ویتلوژنز و بلوغ نهایی، دارای قطر 200/23 میکرومتر بودند.

### بافت‌شناسی تحمدان

مراحل بلوغ اووسیت‌ها در ماهی گورامی سه خال مشابه با سایر مهره‌داران است (Degani *et al.*, 1992). بلوغ نهایی اووسیت با GVBD مشخص می‌شود (Patino *et al.*, 1990a, b). نتایج حاصل از این مطالعه نشان می‌دهد که در گروه‌های کنترل، اووسیت‌ها در مرحله‌ی پیش‌هستکی اولیه به سر می‌برند. در اووسیت ماهیان تحت تیمار با LHRH-A<sub>2</sub> در دوز 0/005 میلی‌گرم بر کیلوگرم برخی از اووسیت‌ها در مرحله ویتیلوژنز به سر می‌برند اما هنوز تعدادی از آن‌ها در



شکل 12: مقطعی از بافت تحمدان ماهی گورامی با دوز 0/005 میلی‌گرم بر کیلوگرم، حرکت وزیکول زایا (GV) به سمت قطب جانوری، اتصال ذرات چربی به یکدیگر (LDF)، حضور اووسیت‌هایی در مرحله پیش‌هستکی اولیه (P)، (H&E)، بزرگنمایی 100 $\times$

### بحث

**شاخص گنادوسوماتیک و قطر اووسیت‌ها**  
از مشخصه‌های بلوغ تخمک GSI است. در مقایسه‌ی نتایج حاصل از GSI، بین گروه‌های کنترل 1 (دست‌نخورده)، کنترل 2 (نرمال سالین) و کنترل 3 از لحاظ آماری اختلاف معناداری وجود ندارد ( $P \geq 0/05$ ). در حقیقت نرمال سالین و اتانول بلوغ اووسیت‌ها را تحت تاثیر قرار نمی‌دهند (Ahmadnezhad *et al.*, 2013). نتایج حاصل از این مطالعه نشان داد که GSI در 12 گروه تجربی بالاتر از گروه‌های کنترل قرار دارد ( $P \leq 0/05$ ). علاوه بر این، نتایج نشان می‌دهد که در تیمارهای مرزنجوش، 17 بنا استراديول و LHRH-A<sub>2</sub> با افزایش دوز، رشد و بلوغ اووسیت‌ها افزایش می‌یابد. آنالیز آماری نتایج GSI بین تیمارهای 17 بنا استراديول و مرزنجوش (50 میلی‌گرم بر کیلوگرم) و LHRH-A<sub>2</sub> (0/005 میلی‌گرم بر کیلوگرم) اختلاف معناداری را نشان می‌دهد ( $P \leq 0/05$ ). بیشترین رشد و بلوغ اووسیت‌ها در تیمار 17 بنا استراديول مشاهده می‌شود. مطالعات نشان می‌دهد که 17 بنا استراديول نقش مهمی

## سپاسگزاری

در اینجا بر خود لازم می‌دانیم که از زحمات تمام کسانی که ما را در انجام این تحقیق یاری نمودند سپاسگزاری نماییم.

## منابع

1. Ahmadnezhad, M., Oryan, S.H., Hosseinzadeh Sahafi, H., Khara, H., 2013. Effect of Synthetic Luteinizing Hormone – Releasing Hormone (LHRH-A<sub>2</sub>) Plus Pimozide and Chlorpromazine on Ovarian Development and Levels of Gonad Steroid Hormones in Female Kutum *Rutilus frisii kutum*. Turkish Journal of Fisheries and Aquatic Sciences, Vol. 13, pp. 95-100.
2. Ahmed, B., Bawa, S., Siddiqui, A.B., Alam, T., Alam, S.A., 2002. Components from seeds of *Cichorium intybus* Linn. Indian journal Chemistry, Section b, 41B, 2701–2705.
3. Anathy, V., Kirankumar, S., Pandian, T.J., 2003. Enhanced expression of beta-thymosin mRNA in the ovary of GnRH analog or 17beta -estradiol treated paradise fish, Macropodus opercularis. Comparative Biochemistry\_and Physiology - Part A, 134(3), 639-45.
4. Benavides, V., Trujillo, G., D'Arrigo, G., Paredes, U., Pino, J., 2000. Evaluación toxicológica preliminar de ruta graveolens, *Origanum vulgare* y persea americana sobre embriones preimplantacionales de ratón. Journal of Revista Peruana de Biología, Vol. 7(1), pp. 87-89.
5. Britt, K.L., et al., 2002. Estrogen regulates development of the somatic cell phenotype in the eutherian ovary. Federation of American Societies for Experimental Biology Journal, 16(11), 1389-1397.
6. Bussmann, R.W., Glenn, A., 2010. Medicinal plants used in Northern Peru for reproductive problems and female health. Journal of Ethnobiology and Ethnomedicine, 6(1), 30-42.
7. Degani, G., Boker, R., 1992. Vitellogenesis level and the induction of maturation in the ovary of the blue gourami *Trichogaster trichopterus* (Anabantidae, Pallas 1770). Journal of Experimental Zoology, 263, 330-337.
8. Degani, G., Jackson, K., Marmelstein, G., 1995. The effect of LHRH analogue on sex steroid profiles in female *Trichogaster trichopterus* (Anabantidae, Pallas). Journal of aquaculture in the tropics, 10, 297-307.

مرحله‌ی پیش هستکی اولیه قرار دارند. در مطالعاتی که توسط Degani و همکاران در سال 2004 بر روی ماهی گورامی سه خال انجام گرفت، نشان داده شد که آنالوگ‌های LHRH می‌توانند بلوغ برخی از اووسیت‌ها را تا مرحله‌ی ویتلوزنر پیش ببرند (Degani et al., 2004). در ماهیان تحت تیمار با مرزنجوش در دوز 50 میلی گرم بر کیلو گرم، اووسیت‌ها بین مرحله‌ی و تیلوژنر و بلوغ نهایی بوده‌اند. مطالعاتی که Britt و همکاران در سال 2002 انجام دادند، نشان داده شد که فیتواستروژن‌ها می‌توانند همانند استروژن‌ها نقش مهمی را در تولید مثل داشته باشند (Britt et al., 2004). در تیمار 17 بتا استرادیول وزیکول ژرمنال کاملا در حاشیه‌ی تخمک قرار گرفته و GVBD ظاهر شد. در مطالعات بر روی مکمل 17 بتا استرادیول بر بلوغ نهایی اووسیت در ماهی گورامی سه خال (Degani et al., 1992) نیز بلوغ نهایی اووسیت‌ها همراه با حضور GVBD بود که با نتایج به دست آمده در این آزمایش مطابقت دارد.

با توجه به نتایج حاصل از این پژوهش، می‌توان نتیجه گرفت که گیاه مرزنجوش در مقایسه با LHRH-A<sub>2</sub> توانسته اثر بیشتری را بر روی باروری ماهی گورامی سه خال داشته باشد و در عین حال اثرات آن از ترکیب 17 بتا استرادیول کمتر بوده است. علت این امر نیز می‌تواند به علت حضور فیتو استروژن موجود در این گیاه باشد که می‌توانند همانند هورمون اولیه‌ی جنسی بر سطوح مختلفی از محور هیپوفیز- هیپوتالاموس- گناد اثر بگذارند.

15. Patino, R., Thomas, P., 1990a. Induction of maturation of Atlantic croaker oocytes by 17a, 20p, 21-trihydroxy-4-pregnen- 3-one in vitro: Consideration of some biological and experimental variables. *Journal of Experimental Zoology*, Vol. 225, pp. 97-109.
16. Patino, R., Thomas, P., 1990b. Effect of gonadotropin on avian intra follicular processes during the development of oocytes maturational competence in Teleost's, the Atlantic croaker: Evidence for two distinct stages of gonadotropic control of final oocytes maturation. *Biology of Reproduction*, 43, 818-827.
17. Tekippe, J.A., Hristov, A.N., Heyler, K.S., Cassidy, T.W., Zheljazkov, V.D., Ferreira, J.F., Karnati, S.K., Varga, G.A., 2011. Rumen fermentation and production effects of *Origanum vulgare L.* leaves in lactating dairy cows. *Journal of Dairy Science*, 94(10), 5065-79.
18. Van Der Kraak, G., Dye, H.M., Donaldson, E.M., 1984. Effects of LH-RH and Des-Gly10 [D-Ala6] LH-RH-Ethyl amide on Plasma Sex Steroid Profiles in Adult Female Coho Salmon (*Oncorhynchus kisutch*). *General and Comparative Endocrinology*, 55, 36-45.
19. Yildiz, F., 2005. Phytoestrogens in Functional Foods. Taylor and Francis Ltd, 1, 3-5, 210-211.
9. Degani, G., Jackson, K., Goldberg, D., 2004. Transcription of FSH- $\beta$ , LH- $\beta$  and growth hormone in female *Truchogaster trichopterus* (PALLAS 1770) treat with GnRH analog. VI International Congress on the Biology of Fish, the Molecular Basis of Environmental Adaptation, Manaus Brazil.
10. Htun-Han, C., 1979. The reproduction biology of the Dab *Limndia limnda* in the North Sea. Gonadosomatic index, Hepatosomatic index & condition factor. *Journal of Fish Biology*, 1, 369-378.
11. Kurzer, M.S., Xu, X., 1997. Dietary Phytoestrogens. *Annual Review of Nutrition*, 17, 353-381.
12. Nakari, T., Erkoma, K., 2003. Effects of phytosterols on zebrafish reproduction in ultigeneration test. *Environmental Pollution*, 123(2), 267-273.
13. Ng, N.K., Tsi, D., Muro, A.D., 1997. Induced final maturation and ovulation in small anabantoid teleost, the Dawrf gourami (*Colisa lalia*) the modulatory effects of monoaminergic and opioid drugs on the responsiveness to LHRHa. *Aquarium Science and Conversation*, 107, 199-215.
14. Okubo, K., Nagahama, Y., 2008. Structural and functional evolution of gonadotropin-releasing hormone in vertebrates. *Acta Physiologica (Oxford)*, 193, 3-15.